

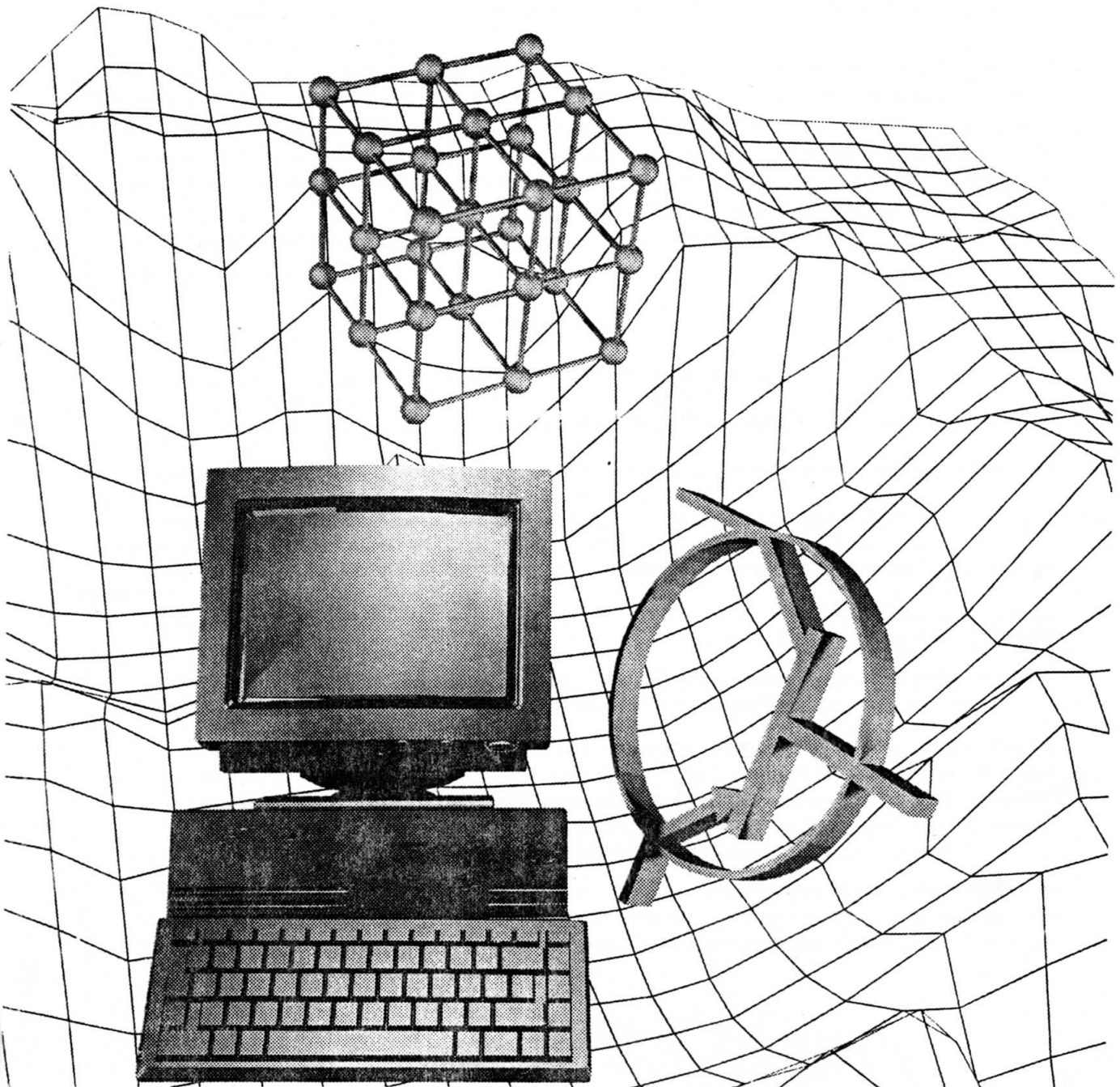
206 р-4456  
2001/4

206  
ISSN - 1561-5405

ИЗВЕСТИЯ ВЫСШИХ УЧЕБНЫХ ЗАВЕДЕНИЙ

62

# Электроника



4

2001

## Предельная точность лазерных импульсных методов измерения дальности и скорости

**A.П.Трифонов, М.Б.Беспалова, М.В.Максимов**

**Воронежский государственный университет**

Найдены характеристики совместных оценок максимального правдоподобия дальности и скорости с учетом аномальных ошибок. Определены оптимальные длительность и период повторения лазерных импульсов, гарантирующие минимальные ошибки измерения дальности и скорости.

Как известно [1, 2], лазерные импульсные измерительные системы содержат лазерный излучатель, передающую коллимирующую или деколлимирующую, а также приемную оптические системы, фотодетектор (ФД) и аппаратуру обработки сигнала на выходе ФД, которая реализует некоторый алгоритм оценки дальности и скорости. Поскольку информация о доплеровском сдвиге частоты отраженного лазерного импульса теряется при фотодетектировании, для оценки скорости по изменению дальности необходим зондирующий сигнал, содержащий не менее двух лазерных импульсов [1, 2].

В [1 - 3] рассмотрены совместные оценки максимального правдоподобия (ОМП) дальности и скорости. Точность оценок фактически характеризовалась дисперсиями совместно эффективных оценок. Естественно, возникает вопрос, насколько близки полученные таким образом дисперсии оценок к истинным значениям в зависимости от интенсивности лазерного импульса и протяженности априорных интервалов возможных значений дальности и скорости. Практическая ценность любого алгоритма измерения существенно снижается при малых интенсивностях импульсов и больших априорных интервалах возможных значений дальности и скорости вследствие появления аномальных ошибок и возникновения пороговых эффектов [4 - 6]. Кроме того, использование дисперсий совместно эффективных оценок для описания точности оценок дальности и скорости может привести даже к качественно неверным результатам. Действительно, дисперсии совместно эффективных оценок дальности и скорости стремятся к нулю по мере уменьшения длительности зондирующих лазерных импульсов и по мере увеличения их периода повторения [3]. Тем не менее чрезмерное уменьшение длительности импульсов и увеличение их периода повторения могут привести к снижению точности оценки дальности и скорости вследствие появления пороговых эффектов [4 - 6]. В связи с чем представляет интерес определение таких значений длительности лазерных импульсов и их периодов повторения, которые обеспечивают максимальную точность оценок дальности и скорости.

Положим, что излучается последовательность из  $N$  лазерных импульсов с интенсивностью

$$s_N(t) = \sum_{k=0}^{N-1} s[t - (k - \gamma)\theta - \lambda] = a \sum_{k=0}^{N-1} f\left[\frac{t - (k - \gamma)\theta - \lambda}{\tau}\right], \quad (1)$$

где  $s(t)$  - функция, описывающая интенсивность одного лазерного импульса;  $\lambda$  - временное положение последовательности;  $\theta$  - период повторения импульсов. Параметр  $\gamma$  определяет точку последовательности, с которой связано ее временное положение  $\lambda$ . Так, при  $\gamma = 0$  величина  $\lambda$  представляет собой временное положение первого импульса, при  $\gamma = (N-1)/2$  - временное положение середины последовательности (1), а при  $\gamma = N-1$  - временное положение последнего импульса последовательности. В (1) также

обозначено  $a = \max s(t)$  - максимальная интенсивность, а  $\tau = \int_{-\infty}^{\infty} s(t) dt \left[ \max s^2(t) \right]^{-1}$  - эквивалентная длительность лазерного импульса. Функция  $f(x) \geq 0$  в (1) описывает форму интенсивности одного импульса и нормирована так, что  $\max f(x) = 1$ ,  $\int_{-\infty}^{\infty} f^2(x) dx = 1$ .

Положим, аналогично [1, 2], что в результате рассеяния последовательности из  $N$  лазерных импульсов объектом, дальность  $R_0$  и скорость  $V_0$  которого надо измерить, на выходе ФД наблюдается реализация пуассоновского потока однофотонных импульсов с интенсивностью

$$a \sum_{k=0}^{N-1} f \left\{ \left[ t - 2 \frac{R_0}{c} - (k - \gamma) \theta \left( 1 + 2 \frac{V_0}{c} \right) \right] / \tau \right\} + v. \quad (2)$$

Здесь

$$R_0, V_0 \in W, \quad W = \{ [R_{\min}, R_{\max}], [-V_{\max}/2; V_{\max}/2] \}, \quad (3)$$

$c$  - скорость света, причем  $V_{\max} \ll c$ , а  $v$  - постоянная интенсивность оптического фона. Для получения ОМП дальности и скорости необходимо, чтобы лазерный измеритель вырабатывал логарифм функционала отношения правдоподобия  $L(R, V)$  [5, 6] для всех возможных значений дальности  $R$  и скорости  $V$  из априорной области  $W$  (3). Полагая, что интервал наблюдения  $[0, T]$  достаточно велик, так что  $T > N\theta$ ,  $T \gg \tau$ , скважность последовательности лазерных импульсов не слишком мала ( $\theta/\tau > 2...3$ ), и, пренебрегая несущественным слагаемым, можем записать [1, 2, 4]

$$L(R, V) = \sum_{k=0}^{N-1} \int_0^T \ln \left[ 1 + qf \left\{ \left[ t - 2 \frac{R}{c} - (k - \gamma) \theta \left( 1 + 2 \frac{V}{c} \right) \right] / \tau \right\} \right] d\pi(t). \quad (4)$$

Здесь  $\pi(t)$  - пуассоновский поток однофотонных импульсов с интенсивностью (2);  $q = a/v$  - отношение интенсивностей наблюдаемых импульсов и фона (отношение сигнал/фон). Согласно определению [5, 6], ОМП неизвестных дальности  $\hat{R}$  и скорости  $\hat{V}$  представляет собой положение абсолютного (наибольшего) максимума логарифма функционала отношения правдоподобия (4):

$$(\hat{R}, \hat{V}) = \arg \sup L(R, V); \quad R, V \in W. \quad (5)$$

Если неизвестные дальность  $R_0$  и скорость  $V_0$  априори распределены равномерно в априорной области возможных значений  $W$  (3), то безусловные рассеяния совместных ОМП дальности и скорости (5) запишутся в виде [4]:

$$B(R) = \langle (\hat{R} - R_0)^2 \rangle = D(R)P_0 + (1 - P_0)(R_{\max} - R_{\min})^2 / 6, \quad (6)$$

$$B(V) = <(\hat{V} - V_0)^2> = D(V)P_0 + (1 - P_0)V_{\max}^2/6. \quad (7)$$

Здесь дисперсии надежных оценок дальности и скорости соответственно определяются выражениями [3]:

$$D(R) = \frac{c^2 \tau}{4NaqF} \left( 1 + 12 \frac{[\gamma - (N-1)/2]^2}{N^2 - 1} \right), \quad (8)$$

$$D(V) = \frac{3c^2 \tau}{\theta^2 N(N^2 - 1)aqF}, \quad (9)$$

а вероятность надежной оценки запишется как [4]

$$P_0 \equiv P_0(\tau, \theta) \approx \frac{1}{\beta \sqrt{2\pi}} \int_1^\infty \exp \left[ -\frac{(x-z)^2}{2\beta^2} - \frac{\xi x}{(2\pi)^{3/2}} \exp \left( -\frac{x^2}{2} \right) \right] dx. \quad (10)$$

В (8) - (10) обозначено

$$\begin{aligned} F &= \int_{-\infty}^{\infty} \left[ \frac{df(x)}{dx} \right]^2 \psi^{-1}(x) dx, \quad \psi(x) = 1 + qf(x), \\ \beta^2 &= \int_{-\infty}^{\infty} \psi(x) \ln^2 \psi(x) dx \left[ \int_{-\infty}^{\infty} \ln^2 \psi(x) dx \right]^{-1}, \\ \xi &= \frac{2\theta(R_{\max} - R_{\min})V_{\max}\alpha^2}{c^2 \tau^2} \sqrt{\frac{N^2 - 1}{3}}, \\ z^2 &= aq\tau N \eta^2, \quad \eta^2 = \left[ \int_{-\infty}^{\infty} f(x) \ln \psi(x) dx \right]^2 \left[ \int_{-\infty}^{\infty} \ln^2 \psi(x) dx \right]^{-1}, \\ \alpha^2 &= \int_{-\infty}^{\infty} \left[ \frac{d \ln \psi(x)}{dx} \right]^2 dx \left[ \int_{-\infty}^{\infty} \ln^2 \psi(x) dx \right]^{-1}. \end{aligned} \quad (11)$$

Формулы (6), (7) позволяют рассчитать средний квадрат ошибок измерения дальности и скорости соответственно. Введем в рассмотрение относительные рассеяния - средние квадраты относительных ошибок измерения дальности и скорости:

$$b(R) = B(R)/(R_{\max} - R_{\min})^2, \quad b(V) = B(V)/V_{\max}^2. \quad (12)$$

В дальнейшем будем характеризовать точность совместных ОМП дальности и скорости (5) взвешенной суммой относительных рассеяний (12)

$$\rho(\gamma, \tau, \theta) = \kappa_R b(R) + \kappa_V b(V), \quad (13)$$

где  $\kappa_R \geq 0$ ,  $\kappa_V \geq 0$ ,  $\kappa_R + \kappa_V = 1$ . Веса  $\kappa_R$  и  $\kappa_V$  могут выбираться в зависимости от требований к точности измерения дальности и скорости. Если, например, интерес представляет оценка дальности, а точность оценки скорости несущественна, то следует в (13) принять  $\kappa_R \gg \kappa_V$ . Если же важна оценка скорости, а точность оценки дальности не играет существенной роли, то следует в (13) принять  $\kappa_V \gg \kappa_R$ . Наконец, если к относительным

погрешностям измерения дальности и скорости предъявляются одинаковые требования, следует в (13) принять

$$\kappa_R = \kappa_V = 1/2. \quad (14)$$

Рассмотрим возможность оптимизации параметров  $\gamma$ ,  $\tau$ ,  $\theta$  последовательности лазерных импульсов с интенсивностью (1). Полагая, что интерес представляет взвешенная сумма средних квадратов относительных ошибок измерения дальности и скорости (13), оптимальные параметры последовательности лазерных импульсов будем искать из условия

$$\min \rho(\gamma, \tau, \theta). \quad (15)$$

Подставляя (6) - (10) в (13), находим

$$\rho(\gamma, \tau, \theta) = P_0(\tau, \theta) \left[ \frac{\kappa_R c^2 \tau}{4NaqF} \left( 1 + 12 \frac{[\gamma - (N-1)/2]^2}{N^2 - 1} \right) + \frac{3\kappa_V c^2 \tau}{\theta^2 N(N^2 - 1)aqF} \right] + \frac{1 - P_0(\tau, \theta)}{6}. \quad (16)$$

Очевидно, минимум по  $\gamma$  в (16) достигается при  $\gamma = \gamma_{\text{opt}} = (N-1)/2$ , т.е. условие (15) выполняется, если временное положение последовательности связано с ее серединой. Тогда

$$\min_{\gamma} \rho(\gamma, \tau, \theta) = \rho(\tau, \theta) = \frac{P_0(\tau, \theta) c^2 \tau}{4NaqF} \left( \kappa_R + \frac{12\kappa_V}{\theta^2 (N^2 - 1)} \right) + \frac{1 - P_0(\tau, \theta)}{6}. \quad (17)$$

Согласно (8) - (10), вероятность надежной оценки и дисперсии надежных оценок убывают по мере уменьшения длительности лазерного импульса  $\tau$  и по мере увеличения периода повторения импульсов  $\theta$ . Это приводит к тому, что с уменьшением  $\tau$  и увеличением  $\theta$  величина первого слагаемого в (17) убывает. Однако одновременно возрастает величина второго слагаемого. Следовательно, должны существовать некоторые значения длительности  $\tau_{\text{opt}}$  и периода повторения  $\theta_{\text{opt}}$ , которые обеспечивают выполнение условия (15). Это условие с учетом (17) перепишется теперь в виде  $\min \rho(\tau, \theta) = \rho(\tau_{\text{opt}}, \theta_{\text{opt}}) = \rho_{\text{opt}}$ . Таким образом, оптимальные параметры последовательности лазерных импульсов

$$(\tau_{\text{opt}}, \theta_{\text{opt}}) = \arg \min \rho(\tau, \theta). \quad (18)$$

Найти аналитически величины в (18) не удается вследствие относительно сложной зависимости вероятности надежной оценки (10) от  $\tau$  и  $\theta$ . Величины  $\tau_{\text{opt}}$  и  $\theta_{\text{opt}}$  всегда можно найти, используя численные методы. Однако необходимость многократного вычисления интеграла в (10) как функции двух параметров приводит к существенным затратам машинного времени. Несколько упростить процедуру нахождения  $\tau_{\text{opt}}$  и  $\theta_{\text{opt}}$  можно, полагая отношение сигнал/шум  $z_N = z/\beta$  (11) настолько большим, что для вероятности аномальных ошибок  $P_a = 1 - P_0$  справедлива приближенная формула [4]

$$P_a \approx \frac{\xi z}{[2\pi(1+\beta^2)]^{3/2}} \exp\left(-\frac{z^2}{2(1+\beta^2)}\right).$$

Если  $P_a \leq 0,05 - 0,1$ , то для приближенного расчета взвешенной суммы средних квадратов относительных ошибок измерения дальности и скорости можно использовать упрощенный вариант формулы (17):

$$\rho(\phi, p) = \frac{\Phi}{4\bar{q}\bar{\mu}F} \left[ \kappa_R + \frac{12\kappa_V}{p^2(N^2-1)} \right] + \frac{p\alpha^2\eta}{3[2\pi\phi(1+\beta^2)]^{3/2}} \sqrt{\frac{\bar{q}\bar{\mu}(N^2-1)}{3}} \exp\left[-\frac{\bar{q}\bar{\mu}\phi\eta^2}{2(1+\beta^2)}\right], \quad (19)$$

где  $\Phi = \tau/T_R$  - нормированная длительность лазерного импульса;  $T_R = (R_{\max} - R_{\min})/c$  - время прохождения лазерным импульсом априорного интервала возможных значений дальности; безразмерная величина  $\mu = vNT_R$  - среднее число фоновых однофотонных электронов при наблюдении  $N$  импульсов длительностью  $T_R$ ;

$$p = \frac{\theta V_{\max}}{R_{\max} - R_{\min}} - \quad (20)$$

нормированный период повторения импульсов, который определяется как отношение максимально возможного перемещения объекта за период повторения к длине априорного интервала возможных значений дальности.

Минимизацию взвешенной суммы средних квадратов относительных ошибок измерения дальности и скорости (19) по нормированному периоду повторения (20) можно выполнить аналитически. Действительно, решая уравнение  $[\partial\rho(\phi, p)/\partial p]_{p_m(\phi)} = 0$ , находим

$$p_m(\phi) = \arg \min_p \rho(\phi, p) = \left( \frac{6\kappa_V\Phi}{\alpha^2\eta F} \right)^{1/3} \sqrt{\frac{6\pi\phi(1+\beta^2)}{\bar{q}\bar{\mu}(N^2-1)}} \exp\left[-\frac{\bar{q}\bar{\mu}\phi\eta^2}{6(1+\beta^2)}\right]. \quad (21)$$

Подставляя (21) в (17), получаем

$$\begin{aligned} \rho_m(\phi) &= \min_p \rho(\phi, p) = \rho(\phi, p_m(\phi)) = \\ &= \frac{\kappa_R\Phi}{4\bar{q}\bar{\mu}F} + \left( 1 + \left( \frac{8F}{\kappa_V} \right)^{1/3} \right) \frac{1}{2\pi(1+\beta^2)} \left( \frac{\kappa_V\alpha^2\eta}{6\phi F} \right)^{2/3} \exp\left[-\frac{\bar{q}\bar{\mu}\phi\eta^2}{3(1+\beta^2)}\right]. \end{aligned} \quad (22)$$

Решая затем уравнение

$$\left[ \frac{\partial \rho_m(\phi)}{\partial \phi} \right]_{\phi_{\text{opt}}} = 0, \quad (23)$$

находим

$$\phi_{\text{opt}} = \arg \min_{\phi} \rho_m(\phi) - \quad (24)$$

оптимальное значение нормированной длительности лазерного импульса. Подставляя (24) в (21), получаем

$$P_{\text{opt}} = p_m(\phi_{\text{opt}}) - \quad (25)$$

оптимальное значение нормированного периода повторения лазерных импульсов. Наконец, подставляя (24) и (25) в (17), находим

$$\rho_{\text{opt}} = \rho(\phi_{\text{opt}}, P_{\text{opt}}) = \min \rho(\phi, p) = \rho_m(\phi_{\text{opt}}) - \quad (26)$$

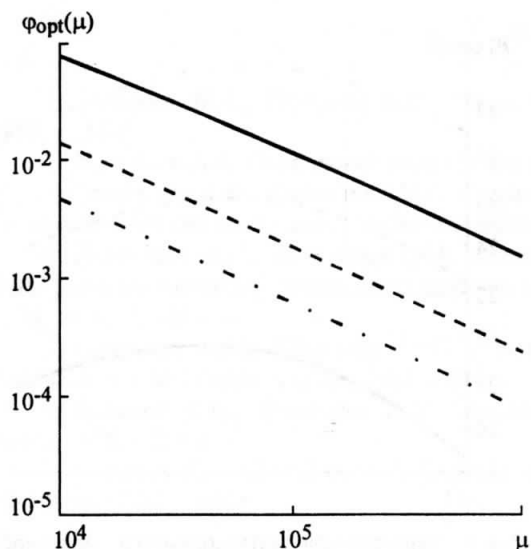


Рис.1. Зависимость оптимальной нормированной длительности лазерного импульса от среднего числа фоновых электронов:  $q = 0,1$  (сплошная линия);  $q = 1$  (пунктирная линия);  $q = 10$  (штрих-пунктирная линия)

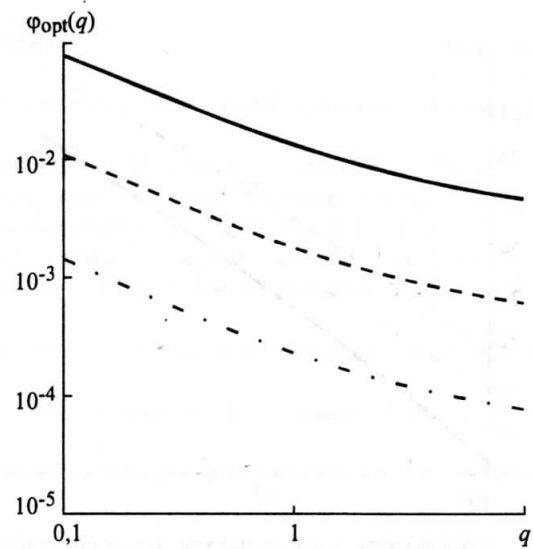


Рис.2. Зависимость оптимальной нормированной длительности лазерного импульса от отношения сигнала/фон:  $\mu = 10^4$  (сплошная линия);  $\mu = 10^5$  (пунктирная линия);  $\mu = 10^6$  (штрих-пунктирная линия)

минимальное значение взвешенной суммы средних квадратов относительных ошибок измерения дальности и скорости, которое характеризует предельную точность измерения дальности и скорости лазерными импульсными методами.

К сожалению, решение уравнения (23) удается получить только численными методами. Однако нахождение  $\Phi_{opt}$ ,  $P_{opt}$  и  $\rho_{opt}$  по формулам (22) - (26) требует существенно меньших затрат машинного времени, чем непосредственная минимизация (17) численными методами.

Конкретизируем полученные общие выражения для последовательности лазерных импульсов, форма интенсивности которых описывается кривой Лоренца [7]:  $f(x) = \left[1 + (\pi x/2)^2\right]^{-1}$ . Полагаем, что к относительным погрешностям измерения дальности и скорости предъявляются одинаковые требования (14). На рис.1 представлена зависимость  $\Phi_{opt}(\mu)$  при различных значениях  $q$ , а на рис.2 - зависимость  $\Phi_{opt}(q)$  при различных значениях  $\mu$ . Кривые на рис.1, 2 рассчитаны по формулам (22), (24). Как следует из рис.1, 2, оптимальная нормированная длительность лазерного импульса убывает с ростом  $\mu$  и  $q$ . На рис.3 представлена зависимость  $p_{1 opt}(\mu)$  при различных значениях  $q$ , а на рис.4 - зависимость  $p_{1 opt}(q)$  при различных значениях  $\mu$ . На рис.3, 4  $p_{1 opt} = p_{opt} \sqrt{N^2 - 1}$ , а  $p_{opt}$  - оптимальное значение нормированного периода повторения лазерных импульсов, рассчитанное по формулам (21), (25). Согласно рис.3, оптимальный нормированный период повторения лазерных импульсов возрастает с увеличением  $\mu$ . В то же время зависимость  $p_{1 opt}(q)$ , представленная на рис.4, является немонотонной и показывает сравнительно слабое влияние  $q$  на величину  $p_{1 opt}$ .

На рис.5 представлена зависимость  $p_{opt}(\mu)$  при различных значениях  $q$ , а на рис.6 - зависимость  $p_{opt}(q)$  при различных значениях  $\mu$ . Кривые на рис.5, 6 рассчитаны по формулам (22), (26). Как следует из рис.5, 6, минимальное значение взвешенной суммы средних квадратов относительных ошибок измерения дальности и скорости убывает с

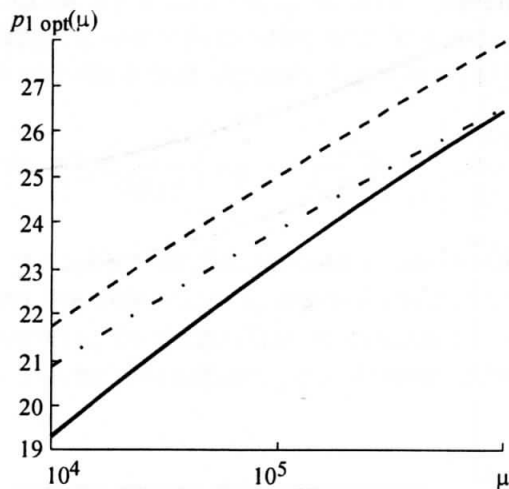


Рис.3. Зависимость оптимального нормированного периода повторения лазерных импульсов от среднего числа фоновых электронов:  $q = 0,1$  (сплошная линия);  $q = 1$  (пунктирная линия);  $q = 10$  (штрих-пунктирная линия)

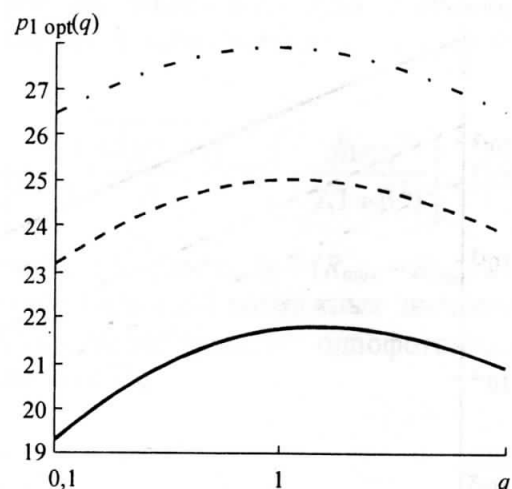


Рис.4. Зависимость оптимального нормированного периода повторения лазерных импульсов от отношения сигнал/фон:  $\mu = 10^4$  (сплошная линия);  $\mu = 10^5$  (пунктирная линия);  $\mu = 10^6$  (штрих-пунктирная линия)

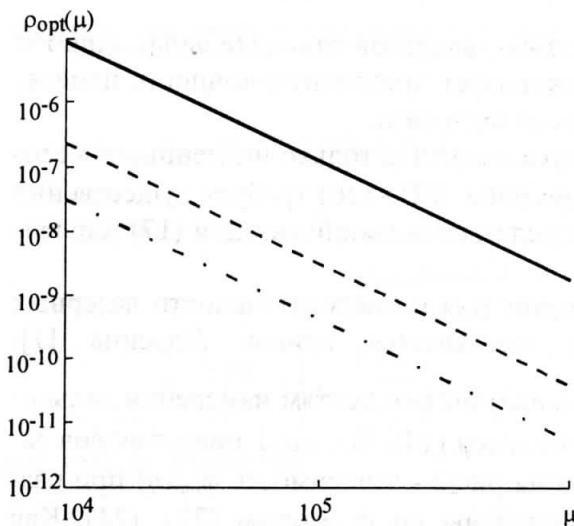


Рис.5. Зависимость минимальной взвешенной суммы средних квадратов относительных ошибок измерения дальности и скорости от среднего числа фоновых электронов:  $q = 0,1$  (сплошная линия);  $q = 1$  (пунктирная линия);  $q = 10$  (штрих-пунктирная линия)

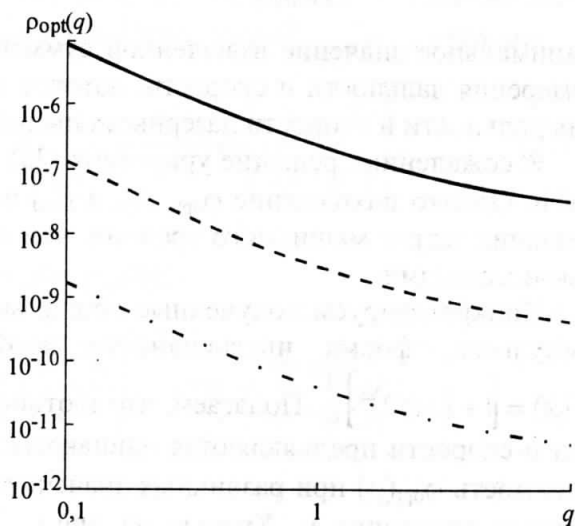


Рис.6. Зависимость минимальной взвешенной суммы средних квадратов относительных ошибок измерения дальности и скорости от отношения сигнал/фон:  $\mu = 10^4$  (сплошная линия);  $\mu = 10^5$  (пунктирная линия);  $\mu = 10^6$  (штрих-пунктирная линия)

увеличением  $\mu$  и  $q$ . Кривые на рис.5, 6 характеризуют предельную точность измерения дальности и скорости лазерными импульсными методами, если для оценки используется алгоритм максимального правдоподобия.

Таким образом, для достижения предельной точности измерения дальности и скорости лазерными импульсными методами при заданных величинах  $R_{\max} - R_{\min}$ ,  $V_{\max}$ ,  $N$ ,  $\mu$  и  $q$  необходимо использовать зондирующую последовательность лазерных импульсов с оптимальными значениями длительности импульсов  $\tau_{\text{opt}} = \phi_{\text{opt}}(R_{\max} - R_{\min})/c$ , периода повторения  $\Theta_{\text{opt}} = p_{\text{opt}}(R_{\max} - R_{\min})/V_{\max}$  и параметра  $\gamma_{\text{opt}} = (N - 1)/2$ .

### *Литература*

1. **Долинин Н.А., Терпугов А.Ф.** Статистические методы в оптической локации. - Томск: ТГУ, 1982. - 256 с.
2. **Воробьев В.И.** Оптическая локация для радиоинженеров. - М.: Радио и связь, 1983. - 176 с.
3. **Трифонов А.П., Беспалова М.Б.** Оценка дальности и скорости при зондировании последовательностью оптических импульсов // Известия вузов. Радиоэлектроника. - 1993. - Т. 36, № 1. - С. 17 - 25.
4. **Трифонов А.П., Беспалова М.Б.** Пороговые характеристики оценок дальности и скорости при зондировании последовательностью оптических импульсов // Изв. вузов. Радиоэлектроника. - 1995. - Т. 38, № 4. - С. 45 - 57.
5. **Трифонов А.П., Шинаков Ю.С.** Совместное различение сигналов и оценка их параметров на фоне помех. - М.: Радио и связь, 1986. - 264 с.
6. **Куликов Е.И., Трифонов А.П.** Оценка параметров сигналов на фоне помех. - М.: Советское радио, 1978. - 296 с.
7. **Ахманов С.А., Дьяков Ю.Е., Чиркин А.С.** Введение в статистическую радиофизику и оптику. - М.: Наука, 1981. - 640 с.

Статья поступила  
10 января 2001 г.

**Трифонов Андрей Павлович** - профессор, заслуженный деятель науки РФ, заведующий кафедрой радиофизики Воронежского государственного университета.  
*Область научных интересов:* статистическая радиофизика и радиотехника, разработка и применение статистических методов для получения, передачи и обработки информации.

**Беспалова Марина Борисовна** - кандидат физико-математических наук, доцент кафедры радиофизики Воронежского государственного университета. *Область научных интересов:* статистическая радиофизика и радиотехника, методы статистической обработки оптических и сверхширокополосных сигналов с неизвестными параметрами.

**Максимов Максим Владимирович** - аспирант кафедры радиофизики физического факультета Воронежского государственного университета, магистр физики. *Область научных интересов:* статистическая обработка сигналов, лазерная связь и локация.